

Über Calcitvierlinge von Robat-i-Karim (Iran)

Autor(en): **Parker, Robert L. / Diehl, Ernst**

Objektyp: **Article**

Zeitschrift: **Schweizerische mineralogische und petrographische Mitteilungen
= Bulletin suisse de minéralogie et pétrographie**

Band (Jahr): **25 (1945)**

Heft 2

PDF erstellt am: **06.08.2024**

Persistenter Link: <https://doi.org/10.5169/seals-21015>

Nutzungsbedingungen

Die ETH-Bibliothek ist Anbieterin der digitalisierten Zeitschriften. Sie besitzt keine Urheberrechte an den Inhalten der Zeitschriften. Die Rechte liegen in der Regel bei den Herausgebern. Die auf der Plattform e-periodica veröffentlichten Dokumente stehen für nicht-kommerzielle Zwecke in Lehre und Forschung sowie für die private Nutzung frei zur Verfügung. Einzelne Dateien oder Ausdrucke aus diesem Angebot können zusammen mit diesen Nutzungsbedingungen und den korrekten Herkunftsbezeichnungen weitergegeben werden. Das Veröffentlichen von Bildern in Print- und Online-Publikationen ist nur mit vorheriger Genehmigung der Rechteinhaber erlaubt. Die systematische Speicherung von Teilen des elektronischen Angebots auf anderen Servern bedarf ebenfalls des schriftlichen Einverständnisses der Rechteinhaber.

Haftungsausschluss

Alle Angaben erfolgen ohne Gewähr für Vollständigkeit oder Richtigkeit. Es wird keine Haftung übernommen für Schäden durch die Verwendung von Informationen aus diesem Online-Angebot oder durch das Fehlen von Informationen. Dies gilt auch für Inhalte Dritter, die über dieses Angebot zugänglich sind.

Über Calcitvierlinge von Robat-i-Karim (Iran)

Von *Robert L. Parker* (Zürich) und *Ernst Diehl* (Büsserach)

Der hier zu beschreibende Calcit wurde von einem von uns (DIEHL) während seiner Tätigkeit als Geologe am Département Général des Mines in Teheran gesammelt. Die kristallographische Untersuchung (PARKER) zeitigte Resultate von hinreichendem Interesse, um folgenden kurzen Bericht über Vorkommen und Ausbildung der Kristalle zu rechtfertigen.

Ungefähr 50 km westlich von Teheran, an der Bahnlinie Teheran-Kum, steigt aus der mächtigen, dem Elburs vorgelagerten Geröll- und Sandebene das Hügelgelände von Robat-i-Karim hervor. Es handelt sich um mehrere niedrige Höhenzüge, die vornehmlich aus grau-violetten, meist stark zersetzten Eruptivgesteinen von andesitischem bis dacitischem Charakter aufgebaut sind.

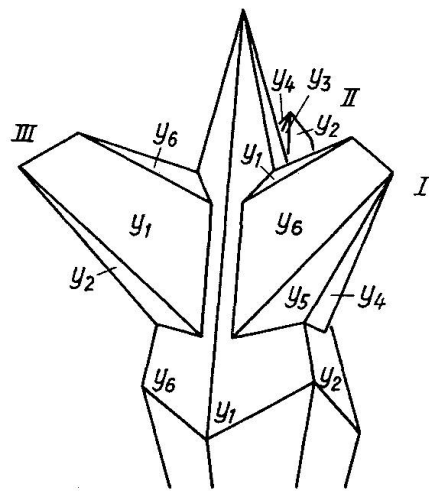
In der Nähe des Manganerzvorkommens¹⁾, das heute in bescheidenem Umfang von der iranischen Regierung abgebaut wird, ist die Basis der Hügel von einem stark zermürbten Gestein gebildet, dessen sonst dunkle Farbe hier als Folge der intensiven Kaolinisierung teilweise in Weiss wechseln kann. Darüber lagert sich ein hellgraues dünnplattiges Gestein von trachytischer Struktur, dessen bis zu 2 mm grosse Plagioklasleisten die typische fluidale Anordnung zeigen.

Zwischen diesen beiden Horizonten liegt eine ca. 50 m mächtige Zone, die sich durch äusserst intensive Zerklüftung auszeichnet. Die Klüfte lassen sich bei näherer Untersuchung weitgehend zwei Klüftsystemen einordnen, die sich unter einem Winkel von rund 45° schneiden. Die Hauptvererzung ist hauptsächlich an die Schnittlinie einiger Klüftflächenschwärme gebunden. Die Spalten sind teils mit verkitteten Gesteinsfragmenten, teils mit Manganerz und Calcit ausgefüllt. Das Erz besteht vorwiegend aus muscheligen bläulichem Psilomelan; daneben tritt auch Manganit und Pyrolusit auf. Der Calcit, oft in wundervollen Drusen mit Individuen von 5 cm Grösse, ist das charakteristische Gangmineral. Er fällt durch das häufige Auf-

¹⁾ Vergleiche ERNST DIEHL: Beitrag zur Kenntnis der Erzfundstellen Irans. Diese Mitteilungen Band XXIV (1944), 333–371.

treten von sehr regelmässig ausgebildeten Vierlingsgruppen auf, deren eigenartiges Aussehen Anlass gab, Proben zu sammeln und die vorliegende Untersuchung zu unternehmen.

Es handelt sich bei diesem Vorkommen offenbar um eine Zertrümmerungszone in vorwiegend andesitischen Eruptivgesteinen, die von manganreichen Lösungen durchdrungen und in der Folge wieder verkittet und ausgeheilt worden ist. Da eingehendere geologische Untersuchungen aus Zeitmangel nicht angestellt werden konnten, kann über die Herkunft der Lösungen nichts Genaues ausgesagt werden. Als Primärerz scheint Manganit vorgelegen zu haben.



Figur 1. Calcitvierling von Robat-i-Karim. Mit einem zentralen Skalenoeder $y = \langle 32\bar{5}1 \rangle$ sind drei weitere, stark abgeplattete Individuen in geneigter Lage und trigyrisch-symmetrischer Lage verwachsen.

Die zur Untersuchung dienenden Kristalle sind auf einem etwas locker gefügten Aggregat unregelmässig umgrenzter Calcitindividuen aufgewachsen und weisen stets nur ein entwickeltes Ende auf. Die grössten unter ihnen erreichen eine Länge von ca. 4 cm. Sie sind von farbloser, bloss durchscheinender Beschaffenheit, öfters von etwas braunem sandigem Material überzogen und weisen durchwegs nur sehr geringen Glanz auf. Demzufolge war bei der makroskopischen Betrachtung wohl in gewissen Stellungen ein Aufglänzen der Flächen zu beobachten, auf dem Goniometer jedoch keine eigentliche Signalgebung erhältlich. Es liessen sich infolgedessen nur notdürftige Schimmernmessungen durchführen.

Morphologisch bieten die Vierlinge den Anblick von Figur 1. An ein im allgemeinen nur sehr wenig verzerrtes Skalenoder als Zentralindividuum fügen sich in typisch trigyrisch-symmetrischer An-

ordnung und geneigter Lage drei weitere, meist stark verzerrte Skalenoeder an. Diese Skalenoeder konnten auf Grund vorsichtiger Messungen der Polkantenwinkel mit dem Anlegegoniometer mit der für Calcit sehr wichtigen und typischen Form $y = \langle 32\bar{5}1 \rangle$ identifiziert werden. Die erhaltenen Werte von ca. 71° für den schärferen und $44\frac{1}{2}^\circ$ — $46\frac{1}{2}^\circ$ für den stumpferen Winkel stimmen gut mit den berechneten Werten überein, die $70^\circ 59'$, resp. $45^\circ 32'$ betragen. Namentlich der Wert des stumpferen Winkels unterscheidet diese Form untrüglich von der an und für sich viel häufigeren $v = \langle 21\bar{3}1 \rangle$, deren entsprechender Wert $35^\circ 36'$ lautet und somit gar nicht mit den gemessenen Werten verwechselt werden kann. Ein Versuch, die Positionen der Flächen auf dem Reflexgoniometer zu bestimmen, ergab unbefriedigende Resultate, indem die auftretenden, sehr schwachen und diffusen Reflexe die Gestalt von in der Zone der Skalenoeder-Mittelkanten langgezogenen Lichtzügen aufwiesen und keine eindeutigen Einstellungen gestatteten. In Figur 1 und den folgenden Zeichnungen, sowie im Text sollen die einzelnen Flächen der Skalenoeder mit Zahlen nach folgendem Schema bezeichnet werden:

$$\begin{array}{ll} (y) \ 1 = (32\bar{5}1) & 4 = (\bar{2}\bar{3}51) \\ \quad 2 = (\bar{3}5\bar{2}1) & 5 = (2\bar{5}31) \\ \quad 3 = (\bar{5}321) & 6 = (5\bar{2}\bar{3}1) \end{array}$$

Schärfere Polkanten sind bei dieser Bezeichnungsweise zwischen 1—2, 3—4, 5—6 gelegen, während diejenigen zwischen 2—3, 4—5, 6—1 die stumpferen sind. In analoger Weise sollen die Flächen des Grundrhomboeders, die als Spaltflächen oft vorhanden sind oder doch leicht erzeugt werden können, als

$$r_1 = (10\bar{1}1), \quad r_2 = (\bar{1}101), \quad r_3 = (0\bar{1}11)$$

bezeichnet werden. Diese Flächen weisen stets den üblichen lebhaften Perlmutterglanz auf und waren für die Beurteilung des Gesetzes der Zwillingsbildung von ausschlaggebender Bedeutung.

Schon folgende Beobachtung genügte, um zu zeigen, dass bei diesen Vierlingen Verwachsungen von ganz ungewöhnlichem Charakter vorliegen:

In dem einspringenden Winkel, der sich zwischen dem Zentralindividuum und jedem der geneigten Nebenindividuen einstellt, stehen schärfere Polkanten beider Kristalle unter einem ungefähr rechten Winkel einander gegenüber.

Das bedeutet, dass die Fläche eines positiven Rhomboeders als Zwillingsselement angenommen werden muss, zugleich aber auch, dass $(10\bar{1}1)$, das allein bisher in dieser Rolle beobachtet worden ist, nicht in Frage kommen kann. Denn bei Zwillingen nach dem Grundrhomboeder müssten es die Hauptachsen der beteiligten Individuen sein, die einen Winkel von $90^{\circ} 48'$ bilden, also praktisch rechtwinklig aufeinander stehen, während schärfere Polkanten des gegebenen Skalenoeders sich unter dem wesentlich grösseren Winkel von $123^{\circ} 06'$ treffen würden (Figur 2).

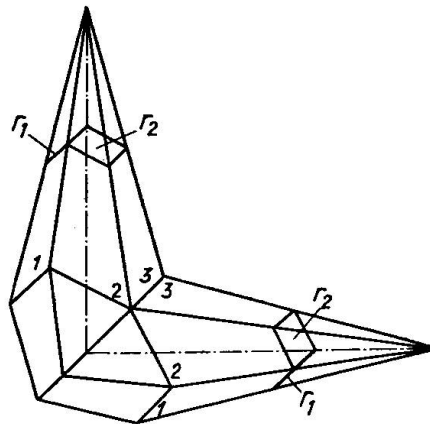


Fig. 2

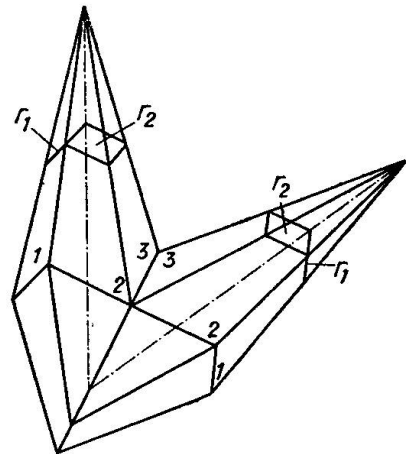


Fig. 3

Figur 2. Zwei Skalenoeder $y = \langle 32\bar{5}1 \rangle$ in Zwillingstellung nach $(10\bar{1}1)$. Man beachte die parallele Lage von r_1 und der Verwachsungsebene.

Figur 3. Zwei Skalenoeder y verzwillingt nach einer Grundrhomboederkante $= [100]$. Zu beachten die senkrechte Lage einer Skalenoedermittelkante auf der Verwachsungsebene.

Für die Deutung der vorliegenden Verwachsung sind folgende zusätzliche Beobachtungen von wesentlicher Bedeutung:

Bringt man die Flächen der Vierlinge durch geeignete Drehungen und Neigungen der Gebilde zum Aufleuchten, so kann festgestellt werden

- a) dass in einer bestimmten Lage je eine Fläche des zentralen und eines geneigten Skalenoeders gleichzeitig einspiegeln;
- b) dass in anderer Stellung je eine Spaltfläche am Haupt- und am Nebenindividuum miteinander reflektieren.

In Figur 3 z. B., die zwei Kristalle in der hier vorliegenden Verknüpfung darstellt, wären es die zwei Skalenoederflächen 2 einerseits

und die zwei Rhomboederflächen r_2 andererseits, die gleichzeitig ein-spiegeln würden. Es bedeutet dies, dass die betreffenden Flächen-paare einander genau oder doch annähernd parallel sein müssen. Je nachdem, ob man den Parallelismus als vollkommen oder nur nahezu realisiert betrachtet, gelangt man nun zu einem der zwei folgenden Deutungen des Zwillingsgesetzes.

1. Sind die Flächen 2 sowie r_2 an beiden Individuen streng parallel, so folgt, dass an den zwei Kristallen auch die Zonen $[2-r_2-r_3-5]$ einander parallel sein müssen. Es handelt sich um eine Rhomboeder-kantenzone, die zugleich auch die Zone einer Mittelkante des Skalen-oeders $\langle 32\bar{5}1 \rangle$ ist. Figur 3 zeigt nun sehr deutlich, wie eine solche Kante an beiden Kristallen auf der Verwachsungsebene senkrecht steht. Als Zwillingsgesetz muss demnach in diesem Fall postuliert werden: „Drehung um eine Kantenrichtung, die in rhomboedrischer Indizierung ein Symbol vom Typus $[100]$ erhält.“

2. Die oben erwähnte Verwachsungsebene hat die Lage eines steilen positiven Rhomboeders. Sie ist natürlich irrational. Die Unter-suchung ihrer Position zeigt jedoch, dass sie nur sehr wenig von der rationalen Lage $(20\bar{2}1)$ abweicht. Ein Vergleich der den beiden Flächenlagen zukommenden ϱ -Werte macht dies ohne weiteres klar:

$$\text{Fläche} \perp [100] : \varrho = 26^\circ 15'$$

$$\text{Fläche } (20\bar{2}1) : \varrho = 26^\circ 53'$$

Es kann somit ein Zwillingsgesetz mit „Spiegelung nach $(20\bar{2}1)$ “ postuliert werden, das zu einer von der oben beschriebenen nur sehr wenig abweichenden Stellung beider Individuen führt. Folgende ta-bellarische Übersicht vermittelt einige für die beiden Zwillingstypen geltende Daten:

	Zwilling nach $[100]$	Zwilling nach $(20\bar{2}1)$
Flächen r_2 sowie r_3 beider Individuen	genau parallel	annähernd parallel
Flächen 2 sowie 5 beider Indi-viduen	genau parallel	annähernd parallel
Winkel zwischen den Haupt-achsen	$52^\circ 30'$	$53^\circ 46'$
Winkel zwischen r_1 beider Indi-viduen über den einspringen-den Winkel gemessen	$141^\circ 42'$	$142^\circ 58'$
Winkel der schärferen Polkan-ten im einspringenden Win-kel für $\langle 32\bar{5}1 \rangle$	$84^\circ 48'$	$86^\circ 04'$
Winkel der stumpferen Polkan-ten (aussen) für $\langle 32\bar{5}1 \rangle$	$24^\circ 04'$	$25^\circ 20'$

Es ist ersichtlich, dass die in Frage kommenden Winkel durchgehend einander so nahe liegen, dass genauere Messungen notwendig sind, um mit Sicherheit zwischen beiden Zwillingsgesetzen zu unterscheiden. Am vorliegenden Material waren solche sowohl wegen der Beschaffenheit, wie wegen der für goniometrische Zwecke unhandlichen Grösse der Verwachsungen kaum zu erhalten. Doch konnte der unter 1. angenommene strenge Parallelismus der Spaltrhomböederflächen einwandfrei beobachtet werden. Vollkommen deutlich trat dieser z. B. an Exemplaren hervor, die unterhalb des Scheitelpunktes des einspringenden Winkels eine Spaltung erfahren hatten. Dann setzte die Spaltfläche ungestört von einem in das andere Individuum über, wobei der Übergang sich lediglich durch eine schwach hervortretende Naht bemerkbar machte. Es kann also mit Bestimmtheit auf die Gültigkeit des „Rhomböederkantengesetzes“ geschlossen werden.

An und für sich ist das „Grundrhomböederkantengesetz“ auch das wahrscheinlichere von beiden. Denn während $\langle 20\bar{2}1 \rangle$ eine für Calcit bedeutungslose Form ist, erscheint es für ein rhomböedrisches Mineral von pseudokubisch-hexaedrischem Charakter ganz natürlich, dass nicht nur (100) (also $10\bar{1}1$) als typische Zwillingfläche fungiert, sondern dass auch Zwillingbildung nach dem kubisch identischen Gesetz: Drehung um $[100]$ stattfindet. Man muss sich eigentlich wundern, dass Zwillingbildungen dieser Art bisher anscheinend weder an Calcit noch an anderen morphologisch ähnlichen Mineralien (z. B. Rotgültigerzen) beobachtet worden sind. Bei den pseudokubischen Feldspäten spielen solche „komplementäre“ Zwillingsgesetze bekanntlich eine grosse Rolle.

Charakteristisch für die vorliegenden Vierlingsverwachsungen sind noch die allenthalben auftretenden Verzerrungen der schräggestellten Individuen. Sie bestehen in einer bevorzugten Entwicklung derjenigen Flächen der betreffenden Skalenoeder, die zu solchen am Hauptindividuum parallel sind. So sind am Nebenindividuum I (Figur 1) die Flächen 6 und 3 (die resp. parallel 6 und 3 des Hauptindividuums liegen) gegenüber den anderen stark vergrössert. Am Nebenindividuum II sind es 2 und 5, bei III 1 und 4. An Stelle der normalerweise vorhandenen Spitze treten deshalb an den Nebenindividuen schräg verlaufende Kanten auf, die in den den Haupt- und Nebenskalenoedern gemeinsamen Spiegelebenen liegen. Die Art der Verwachsung bringt es mit sich, dass die Schnittkanten dieser grossen Flächen mit denjenigen des Hauptskalenoeders jeweilen parallel einer stumpfen Polkante des letzteren verlaufen. Die hier durch be-

vorzugte Entwicklung hervortretenden Flächen sind die gleichen, die bei den bekannten Zwillingen nach $(10\bar{1}1)$ und $(02\bar{2}1)$ ebenfalls oft durch besondere Grösse ausgezeichnet sind. Nur pflegen bei diesen Zwillingen beide Individuen durch die Verzerrung betroffen zu werden. Oft werden dadurch die im einspringenden Winkel liegenden Flächen mehr oder weniger vollständig unterdrückt. Die grossen Flächen an beiden Individuen können dadurch zum Schnitt kommen und verleihen den Zwillingengebilden einen Habitus, der treffend als „schmetterlingsartig“ bezeichnet worden ist.

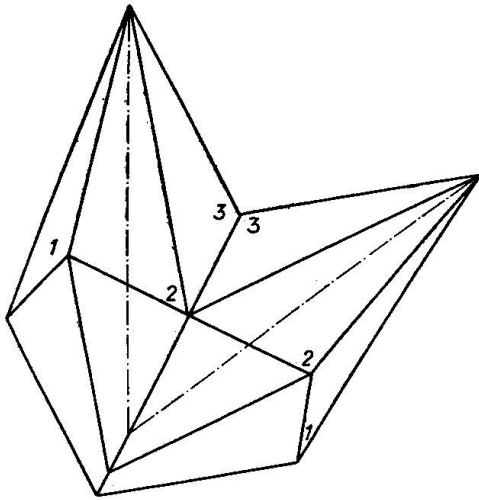


Fig. 4

Figur 4. Zwei Skalenoeder $v = \langle 21\bar{3}1 \rangle$ nach einer Grundrhomboederkante verzwillingt. Auch hier steht eine Skalenoedermittelkante senkrecht zur Verwachsungsebene.

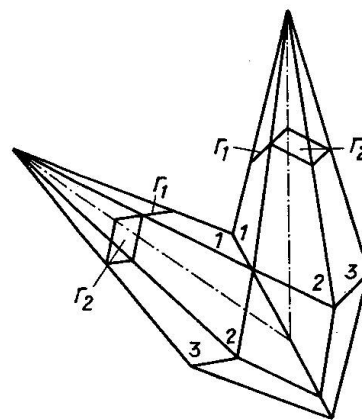


Fig. 5

Figur 5. Zwei Skalenoeder $y = \langle 32\bar{5}1 \rangle$ nach $(02\bar{2}1)$ verzwillingt. Der Vergleich mit Figur 3 zeigt deutlich die ganz andersgeartete Lage der Skalenoedermittelkanten gegenüber der Verwachsungsebene.

Es ist interessant, sich zu vergegenwärtigen, dass die an den vorliegenden Vierlingen zu Tage tretenden Flächenparallelismen keineswegs an das Skalenoeder $\langle 32\bar{5}1 \rangle$ gebunden sind. Genau die gleichen Erscheinungen müssen auftreten, wenn irgend ein anderes, der Grundrhomboederkantenzone angehöriges Skalenoeder auf Grund des oben unter 1. namhaft gemachten Gesetzes verzwillingt wird. Insbesondere könnte auch das überaus häufig unkombiniert auftretende Skalenoeder $\langle 21\bar{3}1 \rangle$ diese Verwachsung zeigen. Allerdings wäre in diesem, in Figur 4 dargestellten Fall die Neigung der im einspringenden Winkel zusammentreffenden schärferen Polkanten $106^{\circ} 16'$, also eine wesentlich grössere als bei der hier untersuchten

Form. Im übrigen aber würden auch an diesem Gebilde die Flächen 2 und 5 beider Kristalle, sowie ihre Spaltflächen r_2 und r_3 jeweils gleichzeitig einspiegeln.

Nachdem gezeigt wurde, dass die Zwillinge nach $[100]$ solchen nach $(20\bar{2}1)$ sehr ähnlich sind, erscheint es lehrreich, sie mit den am Calcit häufigen nach dem negativen Rhomboeder analogen Symbols, also $(02\bar{2}1)$, zu vergleichen. Die Gegenüberstellung von Figuren 3 und 5, die das hier vorliegende Skalenoeder $\langle 32\bar{5}1 \rangle$ in den beiden Zwillingsausbildungen veranschaulichen, lässt zunächst eine gewisse Ähnlichkeit erkennen. In der Tat ist die Neigung der Hauptachsen von dem Vorzeichen des als Zwillingssebene fungierenden Rhomboeders unabhängig und auch der Winkel der Skalenoederkanten im einspringenden Winkel sieht in beiden Fällen einigermaßen gleich aus. Es muss aber daran gedacht werden, dass es beim gewöhnlichen Zwillingstyp stumpfere Polkanten sind, die sich im einspringenden Winkel treffen und dort einen vom rechten nicht allzu stark abweichenden Winkel ($82^\circ 12'$) erzeugen. Auch der Wert für den Winkel zwischen den aussenliegenden Polkanten ($21^\circ 28'$) ähnelt dem in der Tabelle für $[100]$ -Zwillinge angegebenen Wert $24^\circ 04'$, betrifft aber nun die Neigung der schärferen und nicht der stumpferen Polkanten zueinander. Typisch verschieden ist indessen die Lage der Spaltrhomboederflächen und der Verlauf der Skalenoedermittelkanten in beiden Fällen, wobei die Zwillinge nach $(02\bar{2}1)$ die innige zonale Bindung beider Individuen vermissen lassen, die das Hauptcharakteristikum des neuen Gesetzes ist.

Eingegangen: Oktober 1945.